

金沢大学 正員 飯田 恭歎  
道路公团 正員 ○中嶋 益雄

## 1 まえがき

従来の交通需要推計では4段階推定法がよく用いられてきたが、その問題点はある段階の推計において後の段階で得られる予測結果を先に仮定して行なうことであろう。この矛盾を避けるには一連の推計段階を繰返すことにより可能であるが計算量が膨大となるうえに収束するという保証もない。またOD周辺分布交通量を満足させることも必ずしも必要ではない。こうした考え方での推計方法には、直接重力モデルでOD交通量を予測する方法もある。しかしこの方では、各OD交通量を個別に独立として取り扱っており、立回りトリップが多い場合に対処することは困難である。本研究はこれららの問題点を解決することを目的とし、需要・供給の概念を導入して交通需要推計を試みるものである。交通現象はふつう交通量が増加するにともないサービス水準が低下する。一方サービス水準が低下すれば交通発生量が抑えられることになる。前者の関係を供給関数、後者を需要関数で表わせば、実際の交通量はこの両関数の交点である均衡状態で実現化しているものと考えられる。

## 2 交通需要の形成機構と推計手順

ある地域から発生交通量は、このゾーンの発生経済指標  $GM_i$  および周辺ゾーンの吸引経済指標  $AM_k$  が大であるほど、またその間のサービス水準（ここでは簡単に所要時間の関数  $f(t_{ik})$  で与えることとする）が高いほど多くなると思われる。すなわち、ゾーンの発生潜在力（ポテンシャル） $P_i$  は次式の関係を有すると考えられる。

$$P_i \propto GM_i \left\{ \sum_{k \neq i} f(t_{ik}) AM_k \right\} \quad (1)$$

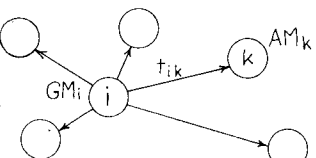


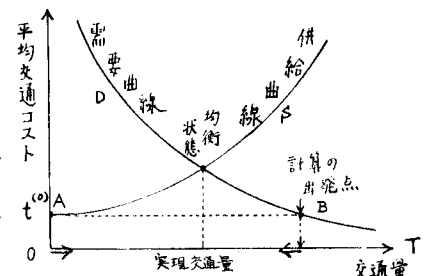
図-1 トリップの発生機構

式(1)を基準化すると

$$\frac{P_i}{P_j} = \frac{GM_i \left\{ \sum_{k \neq i} f(t_{ik}) AM_k \right\}}{GM_j \left\{ \sum_{k \neq j} f(t_{jk}) AM_k \right\}} \quad (2)$$

が成立つので、対象地域からの総発生交通量を  $T$  とすれば、ゾーンから発生交通量  $G_i$  は次のように求められる。つぎに、OD交

$$G_i = TP_i \quad (3)$$



通量  $T_{ij}$  も同様な考え方から、周辺ゾーンの相対的OD潜在力（ポテンシャル）によって決まってくるものと思われる。一方、総発生量  $T$  はゾーン発生潜在力の相乗積で与えられ

$$T_{ij} = G_i \cdot \frac{f(t_{ij}) AM_j}{\sum_{k \neq i} f(t_{ik}) AM_k} \quad (4) \quad T = K \prod_i \left[ GM_i \sum_{k \neq i} \{ f(t_{ik}) AM_k \} \right] \quad (5)$$

ると仮定し、式(5)で表わす。ここに、Kは定数である。図-2は供給曲線と需要曲線を示したものであるが、その計算方法は供給曲線についてはA点から、需要曲線についてはB点から互に接近するように計算を進め、両曲線が合致する均衡点を求める。図-3はその推計手順のフローチャートを示したものである。

(1) 最初に各ゾーンの  $GM_i$ ,  $AM_k$  を与える。交通サービス水準は交通需要量が零の状態を想定して  $t^{(0)}$  とする。総発生量として適当に微小値  $\Delta T$  を与える。ここで吸引経済指標は不变としているが、発生指標は発

生可能量と考えて变量とした。

(2)  $\Delta T$ に対する $\Delta G_i^{(n)}$ ,  $\Delta T_{ij}^{(n)}$ を式(3), (4)よりそれぞれ求め、この $\Delta T_{ij}^{(n)}$ を交通網に配分して $t_{ij}^{(n)}$ を得る。

(3) 次段階の発生指標 $GM_i^{(n)}$ は、 $GM_i^{(n)}$ から $\Delta G_i^{(n)}$ を減じ、 $\Delta A_i^{(n)}$ を加えて与える。ただし、 $\Delta A_i^{(n)} = \sum_k \Delta T_{ki}^{(n)}$

(4) 新たな $\Delta T$ に対して、上と同様に $\Delta G_i^{(n)}$ ,  $\Delta T_{ij}^{(n)}$ ,  $\Delta A_i^{(n)}$ を求める。

(5)  $\Delta T_{ij}^{(n)}$ を $t_{ij}^{(n)}$ のもとに交通網に配分して $t_{ij}^{(n)}$ を得る。

(6) この段階における総発生量は $2\Delta T$ , OD交通量は $(\Delta T_{ij}^{(n)} + 4\Delta T_{ij}^{(n)})$ 各ゾーン発生量は $(\Delta G_i^{(n)} + \Delta G_i^{(n)})$ , 各ゾーン集中量は $(\Delta A_i^{(n)} + \Delta A_i^{(n)})$ となる。

(7) これとは別に、 $GM_i^{(n)}$ および $f(t_{ik}^{(n)})$ を式(5)に代入して $T^{(n)}$ を求め、 $2\Delta T$ に等しいかどうか調べる。等しいときは計算を終了し、等しくないときは(3)と同様な計算を続ける。

以上は短期予測の場合であるが、長期予測になるとKの値を計算段階の進行(時点の経過を意味する)にともない増大させなければならぬし、式(5)の $GM_i^{(n)}$ は現時点の $GM_i$ に各段階の $\Delta G_i$ を順次上積みしていくことが必要であろう。

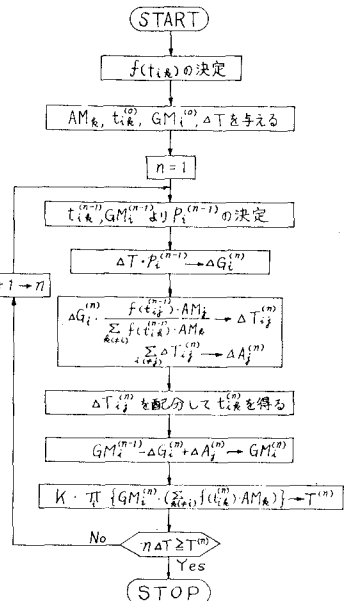


図-3 推計手順

### 3 計算結果に対する考察

昭和45年京阪神パーソントリップ調査の京都市を対象に本方法の適用性を検討してみた。トリップ目的はモデルの性質から買物、娯楽等の自由トリップに限ることにした。交通ネットワークは隣接ゾーン間の経路を簡単に1つのリンクで表わし、交通機関も1つにまとめた。サービス水準は単純に走行時間のみで表わすことにし、各リンク上の容量関数は各種交通機関のキャパシティを考慮して、 $t_{kl} = \alpha_k + (Q_k / C_k)^{\beta}$ のようにした。ここに $t_{kl}$ はリンク $l$ の所要時間、 $C_k$ は容量、 $Q_k$ は交通量そして $\alpha_k$ はリンク固有の定数である。以上の準備のもとに、サービス水準関数 $f(t_{ik}^{(n)})$ として指数型 $\alpha e^{\beta t_{ik}^{(n)}}$ とべき乗型 $t_{ik}^{\gamma}$  ( $\alpha, \beta, \gamma$ は定数で最小自乗法により決定した)について行なったところ適合度にほとんど差はないかった。表-1は計算結果の一部を示したものである。また吸引指標については昼間人口と商品販売額を試みたが、昼間人口の方が適合性が良かった。なお発生指標はいま短期予測であることを参考して、計算段階における発生可能量とするために最初は各ゾーンの夜間人口とし、トリップが行なわれるごとに補正

表-1 京都市の実績値と計算値

| OD | 1    | 2    | 3    | 4    | 5    | 6   |                                    |      | 計                         |
|----|------|------|------|------|------|-----|------------------------------------|------|---------------------------|
|    |      |      |      |      |      |     | 13                                 | 14   |                           |
| 1  |      | 3269 | 3328 | 1020 | 2923 | 90  | 210                                | 167  | 13912                     |
|    |      | 3845 | 1176 | 436  | 3005 | 64  | 237                                | 454  | 14189                     |
| 2  | 1537 |      | 3794 | 647  | 1643 | 0   | 326                                | 332  | 11763                     |
|    | 3473 |      | 2671 | 804  | 2140 | 40  | 295                                | 408  | 15200                     |
| 3  | 1207 | 2736 |      | 1268 | 2040 | 122 | 445                                | 516  | 12026                     |
|    | 1080 | 2683 |      | 1099 | 872  | 26  | 315                                | 391  | 11497                     |
| 4  | 425  | 1281 | 3496 |      | 953  | 43  | 44                                 | 346  | 8055                      |
|    | 577  | 1175 | 1510 |      | 1177 | 23  | 194                                | 533  | 8044                      |
|    |      |      |      |      |      |     | OD: 実績値<br>OD: 計算値<br>OD: $\chi^2$ |      |                           |
|    |      |      |      |      |      |     | 312                                | 4546 | $\Delta T = 500$          |
|    |      |      |      |      |      |     | 346                                | 5342 | $\chi^2(\text{OD})$       |
|    |      |      |      |      |      |     | 0                                  | 5863 | $= 0.3855 \times 10^{-2}$ |
|    |      |      |      |      |      |     | 134                                | 5443 | $\chi^2(\text{発生})$       |
|    |      |      |      |      |      |     | 264                                | 2296 | $= 0.1739 \times 10^{-2}$ |
|    |      |      |      |      |      |     | 432                                | 4931 | $\chi^2(\text{集中})$       |
|    |      |      |      |      |      |     | 125679                             |      | $= 0.2469 \times 10^{-2}$ |

されるようになっている。発生・OD・集中交通量の適合度を見ると、この順番で精度が悪くなっている。これはモデル構造から来る原理的欠ものであろう。この推計手順の問題点は対象区域外に出入するためのターミナルを起終点にもつトリップをどのように取扱うかである。本モデルでは京都駅や阪急四条河原町駅をもつゾーンの適合度が悪くなっている。今後はこの点をサービス水準関数や容量関数を交通機関ごとに設定するなどして現実的なものに近づける必要があろう。なお適合度については、 $\chi^2$ 値の相対比較によって検討したものである。